



(٧٣) – (٩٥)

العدد الخامس عشر

تقدير الجريان السطحي لحوض باستوره باستخدام طريقة (SCS-CN)

د. شيماء ثامر جواد كاظم

كلية التربية للعلوم الانسانية/ جامعة الموصل

Shaymaa_alameri@uomosul.edu.iq

المستخلص :

هدف البحث الى تقدير الجريان السطحي لحوض باستورة في محافظة اربيل بطريقة SCS-CN، والذي بلغت مساحته (٥٣٣.٦ كم^٢)، بالاستعانة بنظم المعلومات الجغرافية والاستشعار عن بعد، كما اظهرت الدراسة العديد من النتائج، منها ان الحوض يتمتع بخصائص طبيعية تساعده على توليد جريانات مائية عالية، اذ يقع ضمن المناخ الرطب وفقاً لتصنيف ديمارتون، وتتمتع منكشغاته الصخرية بكونها غير منفذة للمياه او بقلّة نفاذيتها، لذلك كانت قيم (CN) جميعها عالية اذ شغلت القيمة (٨٥) مساحة (٢٣٩.٩ كم^٢)، في حين انخفضت قيم المعامل (S) والمعامل (Ia) وذلك ما ساعد على توليد جريانات عالية في الحوض، اذ بلغ عمق الجريان (٤٦٤.٥-٦٢٤ ملم)، بينما بلغ حجم الجريان (255611014 م^٣/سنوياً).

الكلمات المفتاحية: الجريان السطحي، طريقة SCS-CN، الاستشعار عن بعد.

An SCS-CN-Based Estimation of Ground Runoff in the Bastoura Basin

Dr. Shaymaa Thamer Jawad Kadhum

University of Mosul / College of Education for Human Sciences

Shaymaa_alameri@uomosul.edu.iq



Abstract :

This paper aims at estimating the current runoff of the Bastoura basin using the SCS-CN model, GIS, and remote sensing. The Bastoura is a 533.6 km²-sized basin in Iraq's Erbil. The study indicates that the basin, being situated in a humid region following de Martonne's classification, is naturally capable of generating high runoffs. The rocky surface of the basin, therefore, is permeable. The estimation finds that curve numbers (CNs) were found to be high where the 85 value made 239.9 km², while the S and the La coefficients were found to be low. Such variation helps make high runoffs through the basin as deep as 464.5 to 624 mm, and as large as 255611014 m³/year.

Keywords: Runoff , SCS-CN mthod ,Remote sensing .

المقدمة:

تشكل المياه العنصر الاساس في حياة الانسان؛ لما توفره من مياه شرب وري واستخدامات اخرى؛ لذا يتوجب الاهتمام بها والمحافظة عليها مما تتعرض له من استنزاف وهي محدودة التغذية، فالانسان ينظر الى المياه على انها وفيرة كونها مورداً متاحاً وجاهزاً للاستخدام، وبما ان الطلب على المياه يتزايد ولجميع الاستخدامات، لذا تأتي اهمية دراسة الاحواض المائية لما توفره من فائض مائي عبر الجريانات المائية العالية خلال فصل التساقط او العواصف المطرية، وخاصة في المناطق الجافة وشبه الجافة، فتأتي اهمية هذه العواصف المطرية عبر ما تولده من جريانات عالية يمكن الاستفادة منها بدل هدرها.

لذا تم اختيار حوض باستورة، ليتسنى معرفة مدى امكانية الحوض على توليد جريانات مائية يمكن ان تخدم المنطقة قيد البحث، ووفقاً لامكانياته وخصائصه الطبيعية من بنية جيولوجية وطوبوغرافية ومناخ وترربة وغيرها. وفي ضوء هذه الخصائص فان الحوض يمتلك مؤهلات لإقامة طرائق مختلفة لحصاد مياه الأمطار فيه، فضلاً عن توفر العديد من المظاهر الجيومورفولوجية التي يمكن استغلالها في عمليات حصاد المياه.

مشكلة البحث:



- ١- ما اهمية الخصائص الطبيعية في رسم الملامح الهيدرولوجية لحوض باستورة؟
٢- ما مدى امكانية حوض باستورة في توليد جريانات مائية لها فائدة او مردود اقتصادي يخدم المنطقة؟
٣- ما دور طريقة SCS-CN في تقدير الجريان السطحي؟ وما مدى بيان التباينات في المنطقة قيد البحث؟
فرضية البحث:

- ١- للخصائص الطبيعية اهمية كبيرة في رسم ملامح حوض باستورة الهيدرولوجية.
٢- للحوض امكانيات عالية لتوليد جريان مائي يعود بالفائدة على منطقة البحث.
٣- لطريقة SCS-CN دور كبير في تقدير الجريان المائي السطحي، وبيان مدى تباينه مكانياً.
اهداف البحث:

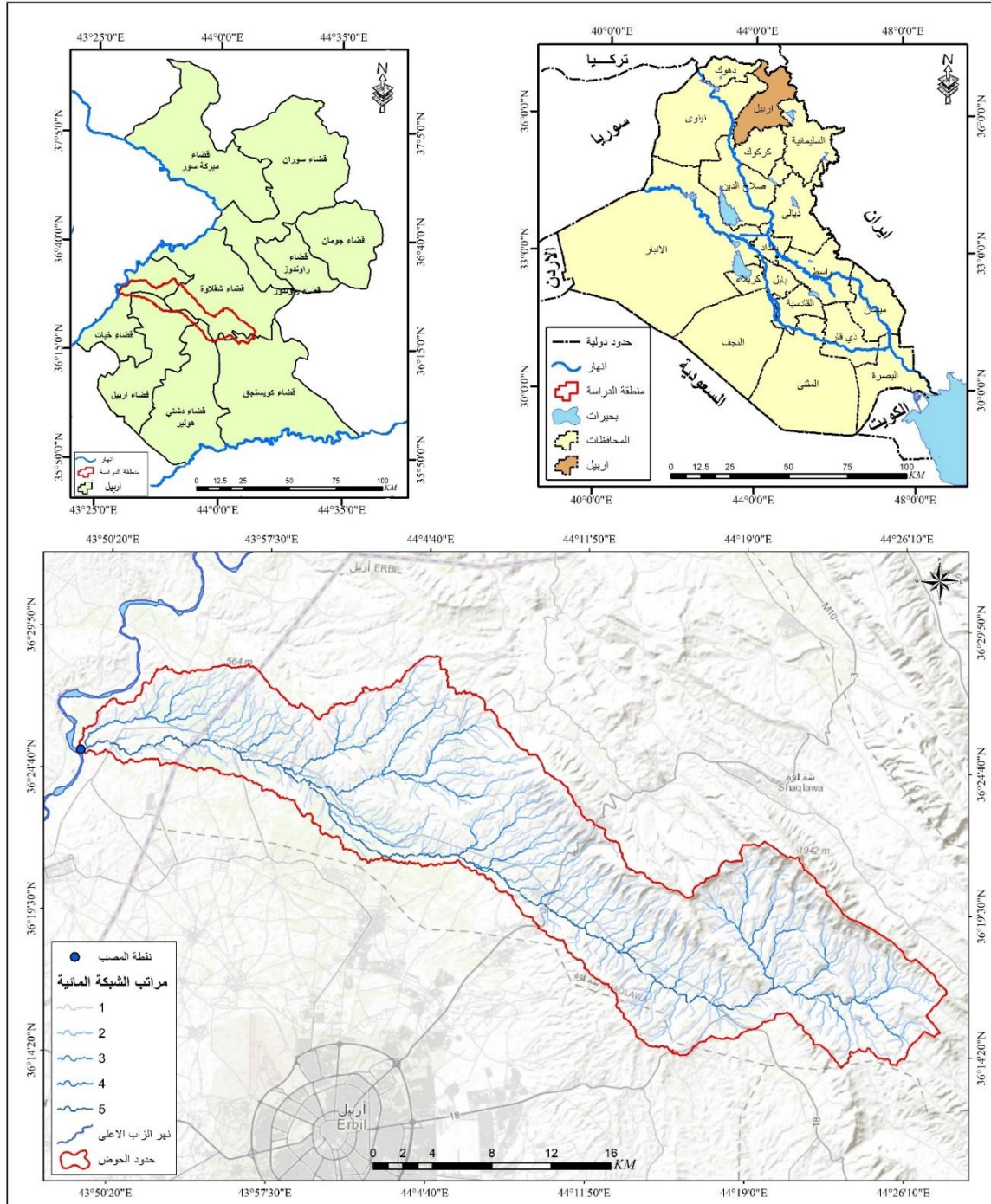
دراسة الخصائص الطبيعية وتأثيرها في رسم الملامح المورفومترية والهيدرولوجية لحوض باستورة. ومن ثم تقدير مدى امكانية الحوض على توليد جريانات مائية لها مردود ايجابي لفائدة منطقة البحث.

موقع منطقة البحث:

يقع حوض باستورة ضمن حدود محافظة اربيل بين قوسي طول (٠٠ ٤٦ ٤٣° - ٠٠ ٢٤ ٤٤°) شرقاً، ودائرتي عرض (٢٠ ١٢ ٣٦° - ٠٣٦ ٢٧ ٥٠°) شمالاً، ويشغل مساحة (٥٣٣.٦ كم^٢)، يحده من الشمال حوض ماوران، اما من الغرب يحده حوض ميرزا رستم، في حين يحده من الجنوب الشرقي حوض شلغة ومن الجنوب حوض كردره واودية اربيل، بينما يحده من الغرب الزاب الكبير وهو يمثل المصب لحوض باستورة.



خريطة (١): موقع حوض باستورة من محافظة اربيل والعراق



المصدر: بالاعتماد على خريطة العراق الادارية، مقياس ١/١٠٠٠٠٠، لسنة ٢٠١١.

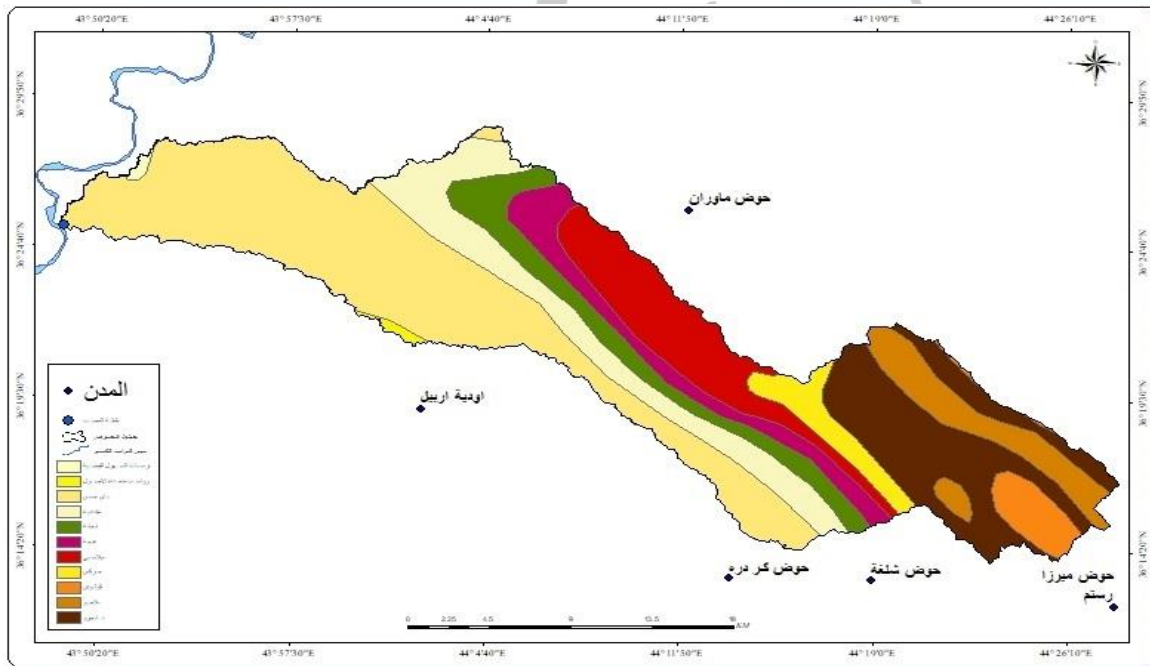
المحور الاول: خصائص حوض باستورة الطبيعية

اولاً: الخصائص البنيوية

من الناحية التركيبية يقع حوض باستورة ضمن الرصيف الغير مستقر من الدرع العربي، وهذا له دلالاته بان المنطقة غير ثابتة تكتونيا، ووجود الصدوع والشقوق والفواصل وهذه التشوهات نتيجة الالتواءات التي اصابت المنطقة، مما يؤثر بشكل كبير على كمية المياه الجارية.

كما يلاحظ من الخريطة (٢) ان التتابع الطبقي لحوض باستورة يتمثل بتكوينات الزمن الثاني _العصر الكريتاسي، والذي يتميز بصخور الكلسية ذات غالبية دولومايتية متداخلة مع صخور الطفل والطين (البصراوي، ٢٠٠٧، ص٧)، وهي صخور قليلة النفاذية تسهم بجريان عالي للمياه، فضلاً عن تكوينات الزمن الثالث والرابع التي تنتشر في الحوض وتتفاوت من حيث المساحات والنسب للمنطقة قيد البحث وكما موضح في الجدول (١).

خريطة (٢): المنكشفات الصخرية في حوض باستورة



المصدر: بالاعتماد على نصير حسن البصراوي، دراسة هيدروكيميائية وهيدروكيميائية لمنطقة لوحتي اربيل (NJ-38-14) ومهاباد (NJ-38-15)، مقياس 1:250,000، حزيران، ٢٠٠٧، ص٧.



ومخرجات برنامج (Arc GIS).

جدول (١): المنكشفات الصخرية في حوض باستورة

النسبة %	المساحة كم ^٢	المنكشف	ت
١٤.٩٣	٧٩.٦٦٥٥٣	تأنجيرو	١
٦.٣٣	٣٣.٧٥٦٥٣٧	بلامبو	٢
٢.٨١	١٥.٠٠٥١٢٥	كولوش	٣
٣.٤٧	١٨.٥٢٧٥٦٢	جركس	٤
١٠.٦٠	٥٦.٥٥٧١٤٧	بيلاسبي	٥
٦.١٦	٣٢.٨٦٦٩١٢	فتحة	٦
٧.٥١	٤٠.٠٧١٠٧٦	انجأة	٧
١١.٨٤	٦٣.٢٠٢.٦٤	مقدادية	٨
٣٥.٧٩	١٩٠.٩٦٥٩٦٦	بأي حسن	٩
٠.٢٢	١.١٥٧٥١٩	رواسب متعددة الاصول	١٠
٠.٣٤	١.٨٢٥٩٤٧	رواسب السهول الفيضية	١١
١٠٠	٥٣٣.٦	المجموع	

المصدر: خريطة (٢)

ثانياً: خصائص المناخ

وللمناخ دور فعال في تحقيق جريان مائي عالي، وخاصة ان مجموع التساقط السنوي بلغ (٦٣٠ ملم)، الذي يقابله اعتدال في درجات الحرارة والبالغة (١٨.٩م°)، وفي ضوء هذه المعطيات؛ ولبيان مناخ منطقة البحث تم الاعتماد على معادلة ديمارتون (١٩٢٦) (الصراف، ١٩٨٠، ص ١٧٥)، وكما يأتي:

$$I = \frac{N}{T+10}$$

= معامل جفاف

N = المجموع السنوي للتساقط المطري (ملم)

T = معدل الحرارة السنوي (م)

وبتطبيق المعادلة وفقاً للبيانات المناخية تبين بان حوض باستورة يتمتع بمناخ رطب، بحسب

النتيجة البالغة (٢١.٨)، وذلك كون معامل الجفاف لديمارتون يشمل خمس فئات وكما يأتي:

أقل من ٥ ملم جاف

٥-٩.٩ شبه جافة

١٠-١٩.٩ شبه رطبة

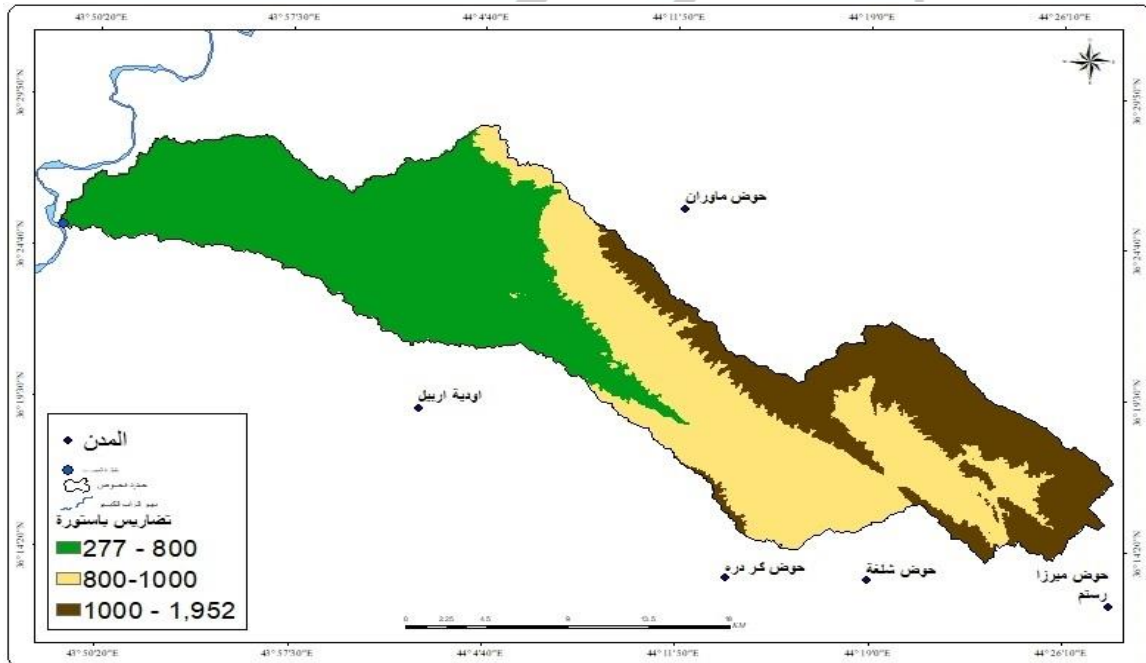
٢٠-٢٩.٩ رطب

٣٠ فأكثر رطب جداً

ثالثاً: المظاهر الطبوغرافية

تتصف منطقة البحث من الناحية الطبوغرافية بتباين الارتفاع بين أقسامه إذ تتحدر بصورة عامة من الجنوب الشرقي إلى الشمال الغربي، وكما يتضح من الخريطة (٣)، في حين بلغ أعلى ارتفاع للحوض (١٩٥٢ م)، وأدنى ارتفاع للحوض (٢٧٧ م) فوق مستوى سطح البحر، وهذا التباين الكبير في مستوى الارتفاع لأجزاء الحوض أسهم وبشكل كبير وواضح في تباين الخصائص المناخية المتحكممة بتحديد كميات الجريان المائي السطحي.

خريطة (٣): تضاريس حوض باستورة



المصدر: بالاعتماد على نموذج الارتفاعات الرقمية (DEM)، ومخرجات برنامج (Arc GIS).



المحور الثاني: الجريان السطحي لحوض باستورة أولاً: طريقة (SCS-CN)

تعد هذه الطريقة من أهم الطرائق المتبعة لتقدير الجريان المائي وتسمى اختصاراً (RCN)، والتي طورتها إدارة صيانة التربة في الولايات المتحدة الأمريكية (Soil Conservation Service)، كما تم تطبيق هذه الطريقة ضمن بيئة نظم المعلومات الجغرافية باعتماد (Arc GIS 10.8) وتقنيات الاستشعار عن بعد؛ للوصول إلى أدق النتائج وأفضلها.

ولحساب الجريان السطحي وفقاً لطريقة (SCS-CN)، ولتقدير الجريان السطحي بدقة وبحسب (USDA) يتطلب ذلك العديد من المعادلات (USDA, 2019, p.1)، وكما يأتي:

$$Q = \frac{(p-1a)^2}{(p-1a)+S} \text{ المعادلة (1)}$$

اذ تمثل:

Q = العمق بال (بوصة)

P = التساقط (بوصة)

1a = استخلاص أولي

S = الامكانية القصوى للاحتفاظ بالماء

كما ان 1a تعادل خمس قيمة S وتحسب (1a) كالاتي:

$$1a = 0.2S \text{ المعادلة (2)}$$

في حين يكون احتساب قيمة S كالاتي:

$$S = \frac{1000}{CN} - 10 \text{ المعادلة (3)}$$

للعلوم التربوية والنفسية وطرائق التدريس للعلوم الأساسية

تجبر قيمة S حسب الصيغة التي حورت للمعادلة (1) وكما يأتي (Carina, 2017, 98):

$$Q = \frac{(p-1a)^2}{(p+0.8S)} \text{ المعادلة (4)}$$

وبالأمكان إعادة صياغة المعادلة (3) بضرب أرقامها بالرقم (٢٤.٤) لتحويل القياسات إلى

المليمتر، وكالاتي:

$$S = \frac{25400}{CN} - 254 \text{ المعادلة (5)}$$



كما تم استخراج حجم الجريان من خلال المعادلة الآتية:

$$QV = Q * A1000 \text{ معادلة (٦).....}$$

$$QV = \text{حجم الجريان (م}^3\text{/سنة)}$$

$$Q = \text{العمق / ملم}$$

$$A = \text{المساحة الحوضية / كم}^2$$

$$1000 = \text{معامل التحويل لتكون النتائج بالمتري المكعب.}$$

ثانياً: استخلاص قيم CN:

تمثل CN رقم يتراوح بين (٠_١٠٠) يعبر عن مدى الاستجابة المائية لمكونات الحوض؛ من حيث الصماتة (النفاذية)، فإذا ما ارتفعت القيم دل ذلك على شدة الصماتة (عدم النفاذية)، في حين انخفاضها يدل على قلة الصماتة وبالتالي نفاذية عالية للحوض.

يتطلب تحديد قيم (CN) توفر عناصر ثلاثة تتمثل بالحالة المسبقة لرطوبة التربة ومجموعة الترب الهيدرولوجية والغطاء الارضي.

١- الحالة المسبقة للرطوبة:

تعد مؤشر على رطوبة التربة لما لها من دور مهم في تحديد حجم الجريان، كما ان لتقدير العلوم التربة والنفسية وطرائق التدريس للعلوم الأساسية قيم الـ (CN) وفق طريقة (SCS) عدة حالات لا بد من التعرف على انواعها وهي: الحالة الاولى (AMC I) للمناطق الجافة، اما الحالة الثانية (AMC II) وهي للمناطق الاعتيادية، بينما كانت الحالة الثالثة (AMC III) للمناطق غزيرة الامطار، اذ يتم تحديد الحالات ضمن الخمسة ايام السابقة لاحساب الجريان ليتم تحديد درجة تشبع التربة بالمياه (Eltayeb,etc. 2017,p4)، وهنا تم تحديد الحالة الثانية متمثلة بالاعتيادية.

جدول (٢): الحالة المسبقة لرطوبة التربة (AMC) في حوض باستورة

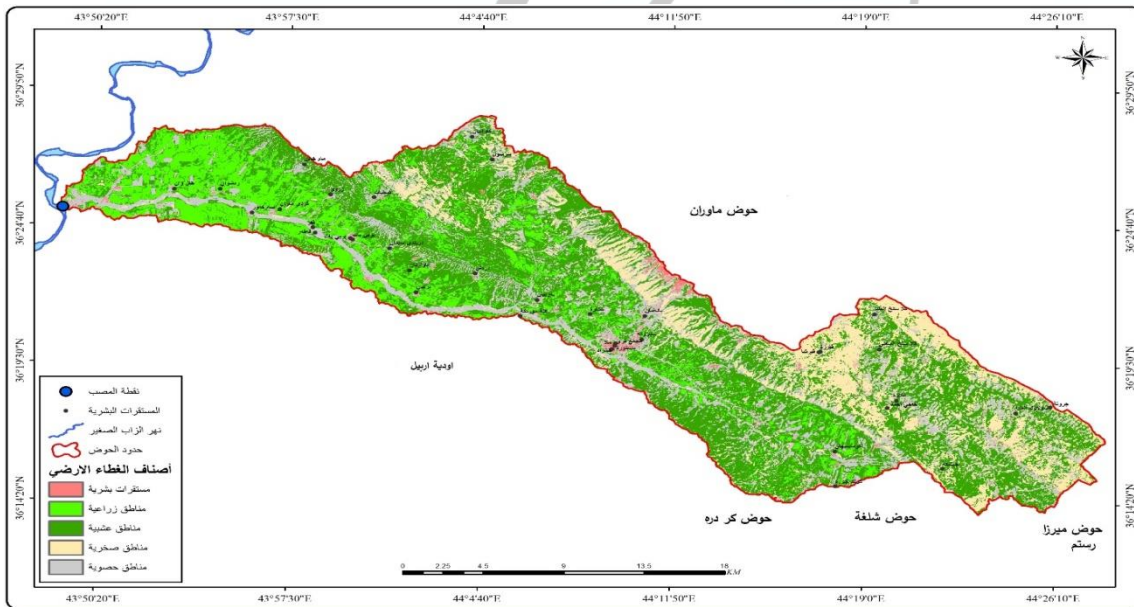
الحالة	كمية الامطار لخمسة ايام قبل العاصفة	AMC
جافة	اقل من ٣٥	I
اعتيادية	٥٢.٥-٣٥	II
الرطوبة	اكثر من ٥٢.٥	III

Eltayeb O. Adam, Mohamed A.m. Abd Elbasit, Tesefamichael Solomon, Fethi Ahmed, INTEGRATION OF SATELLITE RAINFALL DATA AND CURVE NUMBER METHOD FOR RUNOFF ESTIMATION UNDER SEMI-ARID WADI SYSTEM, 37international Symposium on Remote Sensing of Environment, 8-12May.Tshwane,2017,p4.

٢- تصنيف الغطاء الارضي:

تصنيف الغطاء الارضي يعد من متطلبات استخراج (CN)، وتتم باجراء التصنيف الموجه للمرئية للقمير (Landsat8) وبدقة (٣٠ متر)، واجراء المعالجات عبر برنامج (Arc GIS)، اذ تم تمييز خمسة اصناف وكما في الخريطة (٤) وهي كالاتي :

خريطة (٤): اصناف الغطاء الارضي في حوض باستورة



المصدر: بالاعتماد على المرئية الفضائية للقمير (Landsat8) وبدقة تمييزية (٣٠ متر) ومخرجات برنامج (Arc

(GIS)

أ- مستقرات بشرية:

يمثل هذا الصنف الاستخدام السكني، وشبكة النقل داخل الحوض، اذ يلاحظ ان نسبة المستقرات البشرية قليلة بالمقارنة مع بقية الاصناف في الحوض بلغت (١.٢%)، كما انها تتوزع في سائر اجزاء منطقة البحث، وبمساحة بلغت (٦.٢ كم^٢)، وكما موضح في الجدول (٣).

ب- مناطق زراعية:

وتشمل اراضي الزراعة والتي تغطي مساحة واسعة من المنطقة قيد البحث، اذ بلغت (١٦.٧ كم^٢) وبنسبة (١٦.٢%) من مجموع المساحة الكلية. تركزت اغلبها عند منطقة المصب.

ج- مناطق عشبية:

وتشمل الاراضي التي تغطيها النباتات القصيرة والاعشاب الموسمية على جوانب الاودية والاراضي المفتوحة، وتنتشر في معظم اجزاء الحوض؛ من الشمال الى الجنوب و اجزاء اخرى في الشرق وحتى الغرب عند المصب. اذ شغلت مساحة (٢٤٠.٤ كم^٢) وبنسبة (٤٥.١%) وبذلك هو يشغل اكبر تصنيف في حوض باستورة.

د- مناطق صخرية:

وتتمثل بالاراضي الغير صالحة للاستخدام البشري او للزراعة فهي خالية من الغطاء النباتي، وهي تغطي عدة اجزاء في شمال و شمال شرق الحوض، وتشغل مساحة (٨٣.٣ كم^٢) وبنسبة (١٥.٦%).

هـ- مناطق حصوية:

وتنتشر على السفوح الجبلية وفي بطون الاودية، كما شغلت مساحة (١١٧.٠ كم^٢) وبنسبة (٢١.٩%) وهي ثاني اكبر تصنيف ضمن حوض باستورة.

جدول (٣): اصناف الغطاء الارضي في حوض باستورة

النسبة%	المساحة/كم ^٢	اصناف الغطاء الأرضي	ت
1.2	6.2	مستقرات بشرية	1
16.2	86.7	مناطق زراعية	٢
45.1	240.4	مناطق عشبية	٣
15.6	83.3	مناطق صخرية	4
21.9	117.0	مناطق حصوية	٥



100.0	533.6	المجموع
-------	-------	---------

المصدر: خريطة (٤)

٣- - الترب الهيدرولوجية:

للترب الهيدرولوجية اربع اصناف حددتها مصلحة صيانة التربة الامريكية(اسماعيل، ٢٠٢١، ص٨٤)، تعمل على التمييز بين نسبة تسرب المياه داخل التربة وتأثيره على كمية الجريان السطحي الناتجة عن التساقط المطري، لذا تم اعداد خريطة (٥) لهذه الاصناف، وهي كما يأتي:

أ- ترب الصنف A:

تعد ترب هذا الصنف عالية النفاذية، وتشغل اغلب مناطق المنابع للحوض، ونتيجة لذلك ولنفاذيتها تعمل على التقليل من سرعة الجريان السطحي واعاقته؛ لذا تضيع كمية كبيرة من التساقط وبالتالي يقل الجريان السطحي في الحوض. كما تشغل مساحة بلغت (١٦٤.٣ كم^٢) ونسبة (٣٠.٧٩%) من مجموع مساحة الحوض، وكما موضح في الجدول (٤)، وهي تضم الاجزاء الشرقية من الحوض.

ب- ترب الصنف B:

تتميز ترب هذا الصنف بانها ضحلة تتكون من مفتتات صخرية وحصوية اقل عمقا من صنف (A)، ونتيجة لنسيجها الخشن فهي تسمح بجريان متوسط بسبب ارتفاع معدل الارتشاح، اذ بلغت مساحتها (٢٧٩.٥ كم^٢) وبنسبة (٥٢.٣٨%) من مجموع مساحة الحوض، وهي تمتد وسط وشمال حوض باستورة وحتى جنوبه باستثناء الاجزاء الشرقية والجزء الغربي من الحوض.

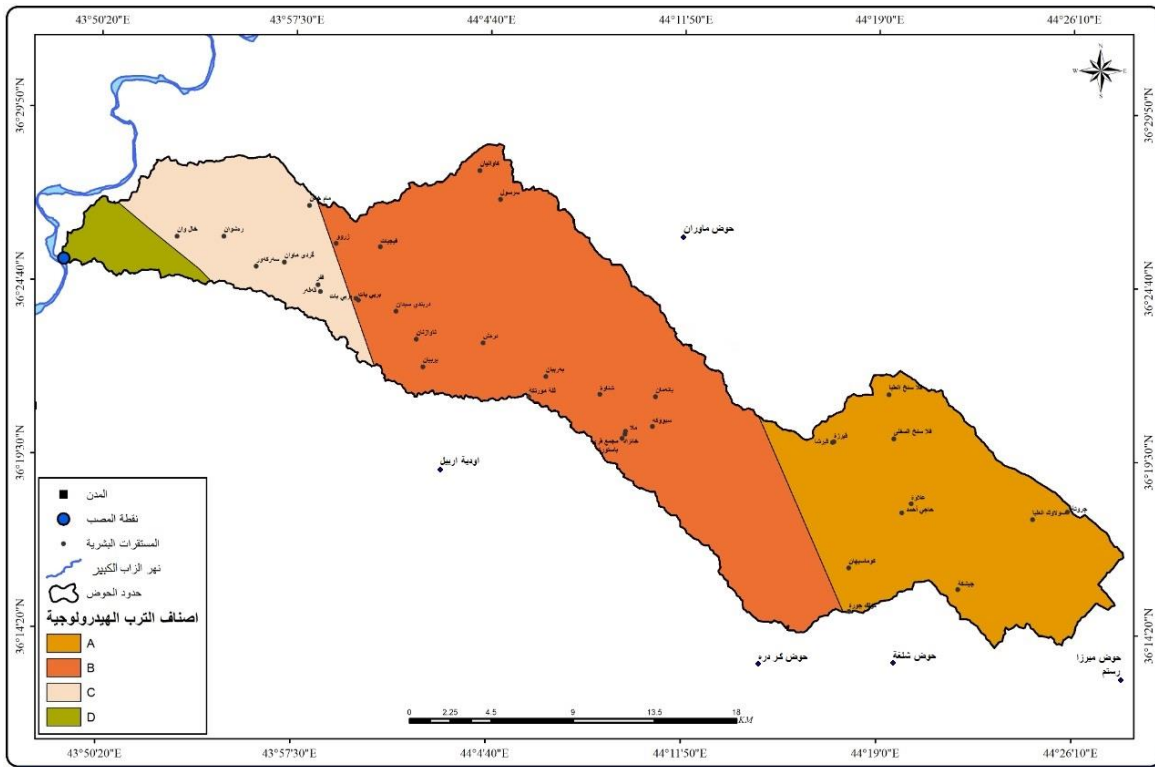
ج- ترب الصنف C:

يسمح هذا الصنف من الترب بجريان متوسط الى عالي بسبب انخفاض معدل الارتشاح، اذ تضم هذه الترب الجزء الغربي من الحوض وبمساحة (٧١.٨ كم^٢) وبنسبة (١٣.٤٦%).

د- ترب الصنف D:

تعد هذه التربة من أكثر الترب أهمية في توليد جريان سطحي عالي بسبب عدم نفاذيتها، وهي تشكل اقل المساحات من بين الترب الهيدرولوجية في الحوض والبالغة (١٨ كم^٢) وما نسبته (٣.٣٧%).

خريطة (٥): اصناف الترب الهيدرولوجية في حوض باستورة



المصدر: بالاعتماد على مخرجات برنامج (Arc GIS) المجلة الأساسية للعلوم التربوية والنفسية وطرائق التدريس للعلوم الأساسية

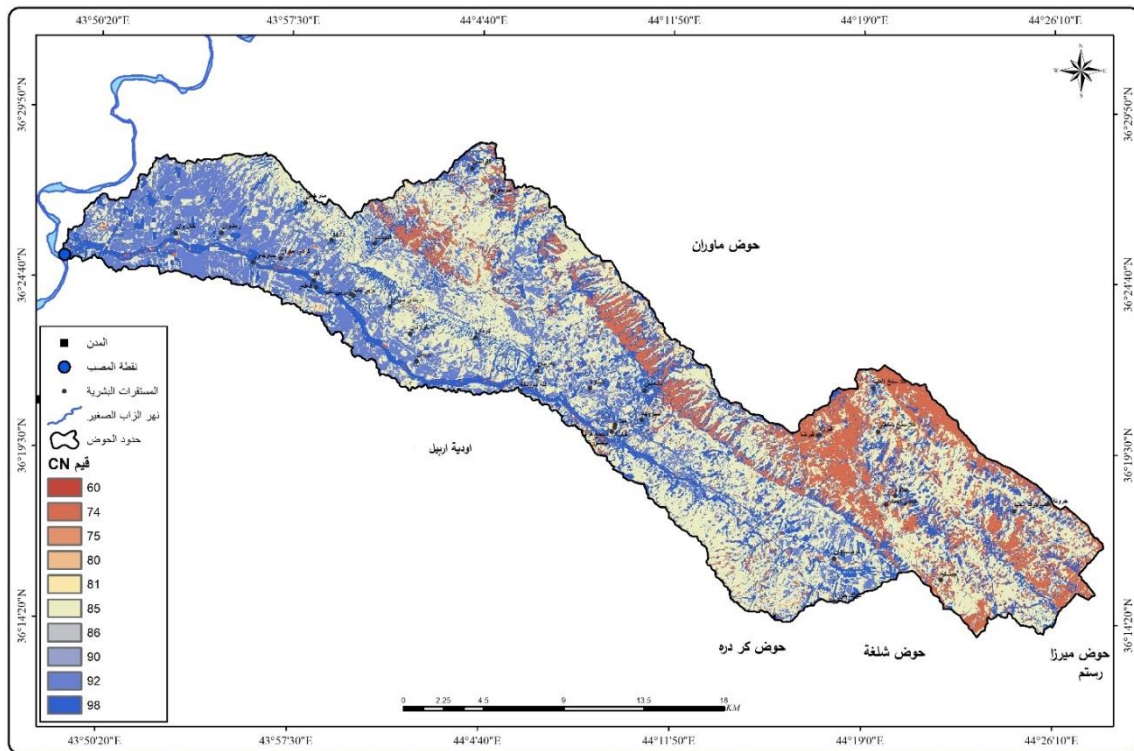
جدول (٤): الترب الهيدرولوجية في حوض باستورة

النسبة	المساحة	اصناف الترب
٣٠.٧٩	١٦٤.٣	A
٥٢.٣٨	٢٧٩.٥	B
١٣.٤٦	٧١.٨	C
٣.٣٧	١٨	D
١٠٠	٥٣٣.٦	المجموع

المصدر: خريطة (٥)

وبعد التعرف على اهم المتطلبات لاستخلاص قيم (CN) تم دمج طبقة الغطاء الارضي مع طبقة الترب الهيدرولوجية ضمن برنامج (Arc.GIS)، فظهرت النتائج ان قيم (CN) جميعها تجاوزت القيمة (٥٠)، وتتجه نحو قيم تقترب من القيمة (١٠٠) وهذا يدل على امكانية تحقيق جريانات عالية في عموم حوض باستورة، وكما مبين في الخريطة (٦).

خريطة (٦): قيم (CN) في حوض باستورة



المصدر: بالاعتماد على المعادلة (٦) ومخرجات برنامج (Arc GIS)

كما يلاحظ من الجدول (٥) ان قيم (CN) تراوحت بين (٦٠-٩٨)، فيما كانت السيادة للقيمة (٨٥) اذ شغلت اكبر مساحة في الحوض والبالغة (٢٣٩.٩ كم^٢) ونسبة (٤٤.٩٦)، تليها القيمة (٩٨) والتي شغلت مساحة (١١١.٩ كم^٢) ونسبة (٢٠.٩٧)، تليهما القيمة (٩٢ و ٧٤) بمساحة بلغت (٨٧.٦ و ٨٢.٢ كم^٢) ونسبة (١٦.٤٢ و ١٥.٤١%) للقيمتين على التوالي، وهنا شكلت هذه القيم الاربعة نسبة (٩٧.٧٦%) وهذا يدل على امكانية توليد جريان عالي.



جدول (٥): قيم (CN) في حوض باستورة

النسبة %	المساحة/كم ^٢	قيم CN	ت
٠.٤	2.1	60	1
١٥.٤١	82.2	74	2
٠.٢٨	1.5	75	3
٠.٤	2.1	80	4
١.٠٣	5.5	81	5
٤٤.٩٦	239.9	85	6
٠.٠٩	0.5	86	7
٠.٠٤	0.2	90	8
١٦.٤٢	87.6	92	9
٢٠.٩٧	111.9	98	10
١٠٠	533.6		المجموع

المصدر: خريطة (٦)

ثالثاً: استخلاص معامل الامكانية القصوى للاحتفاظ بالماء (S):

يدل هذا المعامل عن امكانية التربة في الاحتفاظ بالماء بعد بدء الجريان المائي وعند تشبعها بالماء وتوقف التسرب، ويتوقف هذا المعامل على نوع التربة وقدرتها على امتصاص الماء اثناء التساقط المطري، فضلاً عن علاقة التربة بالغطاء الارضي، وتعتبر تدني قيم (S) على ضعف امكانية التربة بالاحتفاظ بالماء على سطحها، ويساعد هذا في ارتفاع كمية الجريان المائي، في حين اذا ارتفعت قيم (S) ستزيد كمية احتفاظ التربة بالماء وتخفض كمية الجريان السطحي وتتساوى كمية الاحتفاظ بالماء مع كمية الجريان السطحي في حال بلغت قيمة (S) قريبة من القيمة الوسطى (٢٥٤)(النفعي، ٢٠١٠، ١٠٣).

جدول (٦): قيم (S) في حوض باستورة

النسبة %	المساحة/كم ^٢	S	ت
٢٠.٧١	110.5	5	1
١٦.٢٨	87.4	22	2
٠.٠٤	0.2	28	3
٠.١	0.5	41	4
٤٥.٣٥	242.0	44	5
١	5.3	59	6
٠.٤٥	2.4	63	7
٠.١٧	0.9	84	8
١٥.٣٧	82.0	89	9
٠.٤٣	2.3	169	10

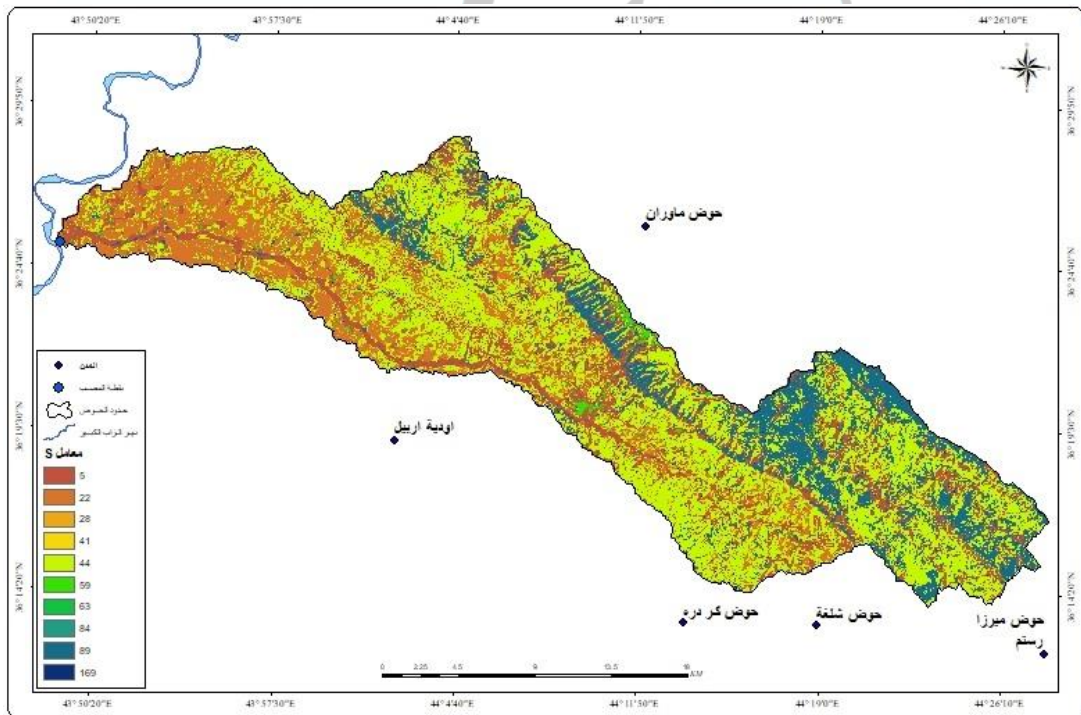
١٠٠	533.6	المجموع
-----	-------	---------

المصدر: خريطة (٧)

يلاحظ من الجدول (٦) ان قيم (S) في حوض باستورة تراوحت بين (٥-١٦٩)، وتمثل جميعها قيم منخفضة ولم تصل الى القيمة الوسطى؛ وهذا يعني انها تساعد على زيادة كمية المياه الجارية. كما كانت السيادة للقيمة (٤٤) والتي شغلت مساحة (٢٤٢ كم^٢) تليها القيمة (٥) بمساحة (١١٠.٥ كم^٢).

ويلاحظ من الخريطة (٧) ان القيم التي يزداد فيها قابلية التربة للاحتفاظ بالمياه اي ارتفعت فيها قيم (S) هي التي تمثل اقل القيم لـ(CN) وهذه اشارة للعلاقة الواضحة بين المتغيرين، كما يلاحظ انها تمثل المناطق الجبلية؛ كون تربها تتميز بمساميتها التي لا تسمح لها بالاحتفاظ بالمياه، اما القيم المنخفضة للمعامل ظهرت في المناطق الاقل نفاذية لقلة الاحتفاظ بالماء فيها كالمناطق السكنية والشوارع.

خريطة (٧): قيم (S) في حوض باستورة



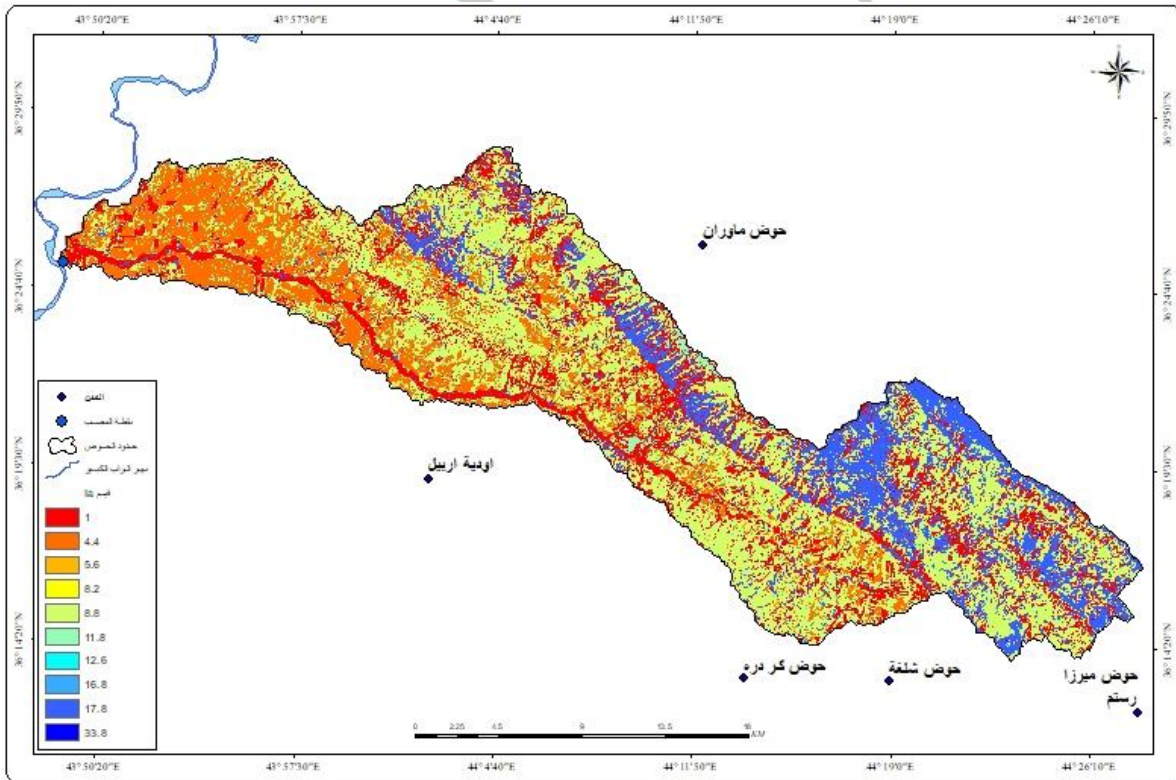
المصدر: بالاعتماد على المعادلة (٥) ومخرجات برنامج (Arc GIS)

رابعاً: معامل الاستخلاص الاولي (Ia):

معامل الاستخلاص الاولي (Ia) هو مقدار الفاقد من مياه الامطار قبل بدء الجريان السطحي؛ من خلال ما تعترضه النباتات من مياه او بالتبخر او التسرب او تجمعات المياه في المنخفضات، وهو يمثل خمس قيمة (S)، وتدل قيمه المنخفضة على انخفاض كمية المياه المفقودة، اما ارتفاع قيمه فتعني ارتفاع كمية المياه المفقودة. (Reshma, 2010, p31).

يتضح من خلال الخريطة (٨) ان قيم (Ia) التي تم استخراجها وفقاً للمعادلة (٢) تراوحت بين (١-٣٣.٨)، ويلاحظ ان جميع القيم منخفضة وهي تدل على قلة الفاقد من الماء مما يساعد على زيادة كمية الجريان السطحي، وبذلك تتطابق قيم نتائج (Ia) مع نتائج (CN و S).

خريطة (٨): قيم (Ia) في حوض باستورة



المصدر: بالاعتماد على المعادلة (٢) ومخرجات برنامج (Arc GIS)



كما يظهر من الجدول (٧) ان السيادة كانت للقيمة (٨.٨) تلتها القيمة (١) وبمساحة بلغت (٢٤٢.٠) و (١١٠.٥) وبنسبة (٤٥.٣٥ و ٢٠.٧١) للقيمتين على التوالي.

جدول (٧): قيم (Ia) في حوض باستورة

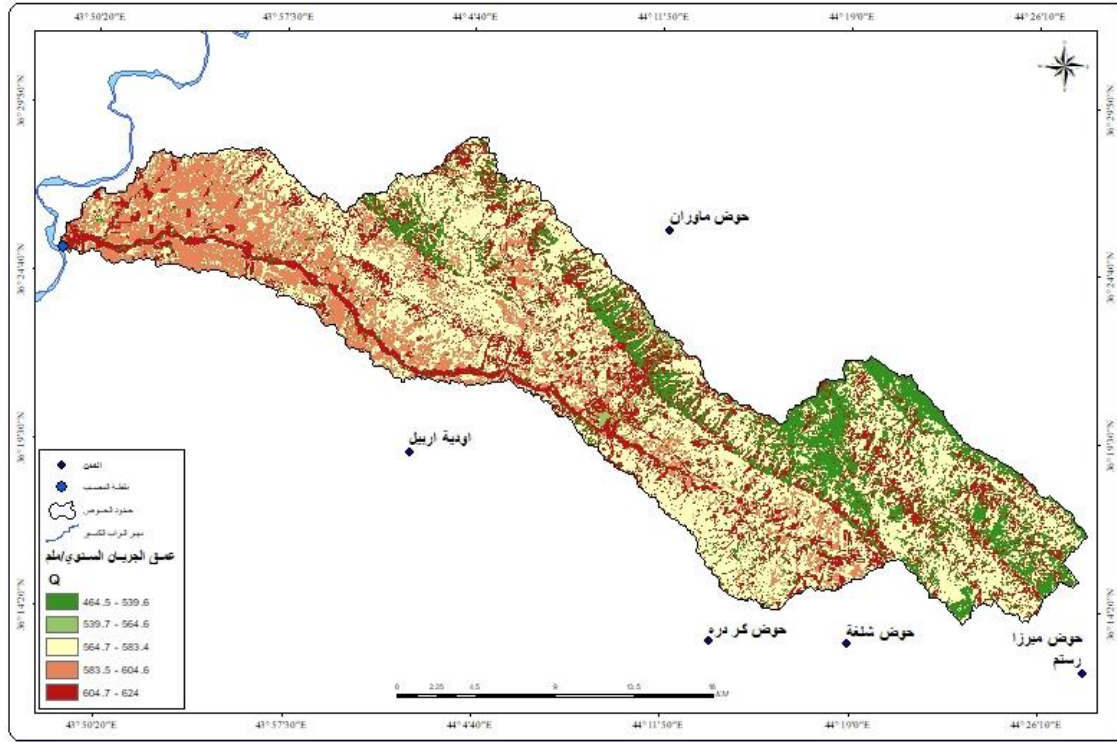
النسبة %	المساحة / كم ^٢	Ia	ت
٢٠.٧١	110.5	1	1
١٦.٣٨	87.4	4.4	2
٠.٠٤	0.2	5.6	3
٠.١	0.5	8.2	4
٤٥.٣٥	242.0	8.8	5
١	5.3	11.8	6
٠.٤٥	2.4	12.6	7
٠.١٧	0.9	16.8	8
١٥.٣٧	82.0	17.8	9
٠.٤٣	2.3	33.8	10
١٠٠	533.6		المجموع

المصدر: خريطة (٨)

خامساً: تقدير عمق الجريان السطحي (Q):

بحساب المتوسط السنوي للأمطار ووفقاً لخصائص الحوض الطبيعية التي تم من خلالها احتساب قيم (Ia-S-CN)، يتم استخراج عمق الجريان السطحي حسب معادلة (٤)، وكما موضح في الخريطة (٩).

خريطة (٩): عمق الجريان السطحي في حوض باستورة



المصدر: بالاعتماد على المعادلة (٤) ومخرجات برنامج (Arc GIS)

ويتضح من الجدول (٨) ان عمق الجريان تتراوح بين (٤٦٤.٥ - ٦٢٤ م)، في حين تركزت اقل القيم اعلى الحوض وذلك بسبب النفاذية العالية كون تربها الهيدرولوجية من الصنف (A) التي تسمح بمعدل ارتشاح عالي، والتي تتطابق مع نتائج القيم المتدنية لـ (CN)، بينما تركزت اعلى القيم لعمق الجريان في الاجزاء التي تنتشر فيها الترب الهيدرولوجية القليلة النفاذية والعديمة النفاذية، في حين شغلت الفئة (٥٦٤.٧-٥٨٣.٤ م) اكبر مساحة في الحوض والبالغة (٢٤٢.٣ كم^٢)، والفئة (٥٦٤.٦-٥٣٩.٧ م) اقل مساحة في الحوض والبالغة (٨.٧ كم^٢)، وبذلك تتطابق قيم عمق الجريان مع قيم (la-S-CN).

جدول (٨): عمق الجريان السطحي في حوض باستورة

المساحة/كم ^٢	عمق الجريان/ملم	ت
84.8	464.5 - 539.6	1
8.7	539.7 - 564.6	2



242.3	564.7 - 583.4	3
87.5	583.5 - 604.6	4
110.3	604.7 - 624	5
533.6		المجموع

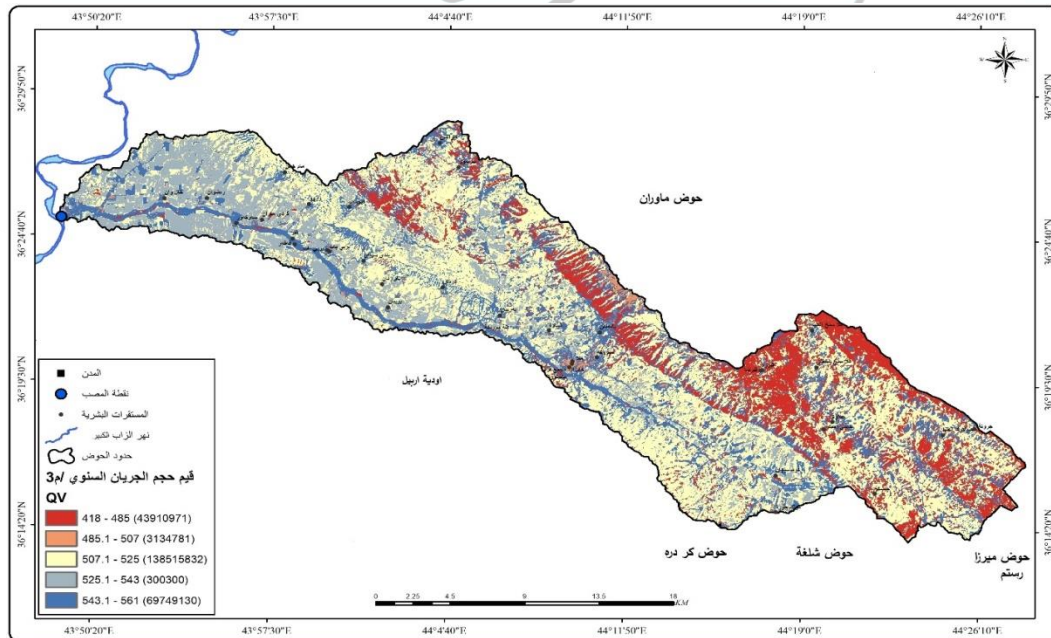
المصدر: خريطة (٩)

سادساً: تقدير حجم الجريان السطحي (Qv)

حجم الجريان هو مجموع الجريان الى مساحة الحوض (النفعي، ٢٠١٠، ص ١٣٤)، كما يعد من الحسابات المهمة لارتباطه بالعملان الجيومورفولوجية والهيدرولوجية، وتم حسابه وفقاً للمعادلة (٦)، بعد ان تم استخراج عمق الجريان، وكما موضح في الخريطة (١٠).

كما يتبين من الجدول (٩) ان حجم الجريان في حوض باستورة تراوح بين (٣٠٠٣٠٠ - ١٣٨٥١٥٨٣٢م^٣/سنة)، اذ شغلت اقل القيم مساحة قدرها (٨٧.٥ كم^٢)، وشغل اعلى حجم جريان مساحة بلغت (٢٤٢.٣ كم^٢)، في حين بلغ مجموع حجم الجريان الكلي في الحوض (٢٥٥٦١١٠١٤ م^٣/سنة)، وهي قيمة عالية يمكن الاستفادة منها في مختلف المشاريع والفعاليات البشرية.

خريطة (١٠): حجم الجريان في حوض باستورة





المصدر: بالاعتماد على المعادلة (٦) ومخرجات برنامج (Arc GIS)

جدول (٩): حجم الجريان السطحي (م^٣/سنة) في حوض باستورة

المساحة/كم ^٢	كمية الجريان السطحي (م ^٣ /سنة)	أصناف قيم الجريان	ت
84.8	43910971	418 - 485	1
8.7	3134781	485.1 - 507	2
242.3	138515832	507.1 - 525	3
87.5	300300	525.1 - 543	4
110.3	69749130	543.1 - 561	5
533.6	255611014		مجموع كمية الجريان

المصدر: خريطة (١٠)

الاستنتاجات:

- ١- تبين من البحث ان حوض باستورة يمتلك امكانية عالية على تحقيق جريان مائي يمكن الاستفادة منه في مختلف الفعاليات البشرية.
- ٢- يتضح ان تباين التساقطات المطرية لحوض باستورة ساعدت على خلق ظروف هيدرولوجية متباينة حققت من خلالها جريانات مائية عالية ومتباينة بحسب هذه الكميات المتساقطة على مختلف المساحة الحوضية.
- ٣- ظهر من البحث ان قيم (CN) جميعها تجاوزت القيمة (٥٠)، وبذلك فهي تتمتع بقيم عالية تدل على ان الحوض يتمتع بشدة الصماته (عدم نفاذيته) في اغلب اجزائه وبدرجات متفاوتة.
- ٤- تبين من البحث ان قيم (S) كانت منخفضة في جميع اجزاء الحوض؛ وهذا مؤشر على عدم امكانية الترب بالاحتفاظ بالمياه بعد بدء التساقط بكميات كبيرة مما يساعد على توليد جريانات مائية عالية.
- ٥- اتضح من البحث ان قيم المعامل (Ia) جميعها كانت منخفضة وهي دلالة على قلة الفاقد من المياه ومن ثم زيادة كميات الجريان.
- ٦- ظهر من البحث ان عمق الجريان في حوض باستورة تراوح بين (٥٦٤.٥-٦٢٤ ملم).



٧- تبيين من البحث ان حجم الجريان بلغ (255611014 م³/سنة).

المقترحات:

- ١- وضع محطات هيدرولوجية للتمكن من قياس كميات الجريان المائي وخاصة في الاحواض ذات التصريف العالي للاستفادة من هذه المياه بدل ضياعها سداً.
- ٢- وضع خطط تنموية للاستفادة من الامكانيات الطبيعية التي يمتلكها الحوض لتنمية كافة الفعاليات البشرية وفي جميع المجالات.
- ٣- على الباحثين في اختصاص الجيومورفولوجيا اكمال الجوانب الاخرى التي لم يتسنى التطرق لها في هذا البحث؛ من تعرية وحصاد مياه ودراسة الاشكال الارضية وغيرها.

المصادر:

- ١- البصراوي، نصير حسن، دراسة هيدرولوجية وهيدروكيميائية لمنطقة لوحتي اربيل (14-38-NJ) ومهاباد (NJ-38-15)، مقياس ١:٢٥٠٠٠٠، حزيران، ٢٠٠٧.
- ٢- صالح، اسماعيل عابر كرين، منطقة مخمور دراسة في الجيومورفولوجيا التطبيقية، كلية التربية للعلوم الانسانية/ جامعة الموصل، الطروحة دكتوراه (غير منشورة)، ٢٠٢١، ص ٨٤.
- ٣- الصراف، صادق جعفر، علم المناخ والبيئة، دار الكتب، بغداد، ١٩٨٠، ص ١٧٥.
- ٤- النفعي، هيفاء محمد، تقدير الجريان السطحي ومخاطره السيلية لحوض وادي عرنة شرق مكة المكرمة بوسائل الاستشعار عن بعد ونظم المعلومات الجغرافية، جامعة ام القرى، كلية العلوم الاجتماعية، المملكة العربية السعودية، ٢٠١٠، ص ١٠٣.

٥- United States Department of Agriculture (USDA) Urban Hydrology for Small Watersheds. at nrcs. usda. gov. in 10Jan. 2019, p1.

٦- Carina, Geographia Technica, Application of Arc Hydro and HEC-HMS model Techniquis For runoff Simulation in the Headwater Areas of Covasna Watershed (ROMANIA), Vol. 12 Issue 1, 2017, p98.

٧- Eltayeb O. Adam, Mohamed A.m. Abd Elbasit, Tesfamichael Solomon, Fethi Ahmed, INTEGRATION OF SATELLITE RAINFALL DATA AND CURVE NUMBER METHOD FOR RUNOFF ESTIMATION UNDER SEMI-ARID WADI SYSTEM, 37international Symposium on Remote Sensing of Environment, 8-12May. Tshwane, 2017, p4.



8- Reshma,T., et.,Simulation of runoff in watershed using SCS-CN and muskingum-cunge methods using remote sensing and geographical information systems, international Journal of Advanced Science and Technology, 2010, p.٣١.



مجلة العلوم الأساسية
للعلوم التربوية والنفسية وطرائق التدريس للعلوم الأساسية

JOBS



مجلة العلوم الأساسية
Journal of Basic Science



Print -ISSN 2306-5249

Online-ISSN 2791-3279

العدد الخامس عشر

٢٠٢٣ م / ١٤٤٤ هـ



مجلة العلوم الأساسية
للعلوم التربوية والنفسية وطرائق التدريس للعلوم الأساسية